

## II-293 発生・消滅過程としての河床波の発達

京都大学大学院 学生員 赤尾 恒博  
 京都大学工学部 正員 中川 博次  
 京都大学工学部 正員 辻本 哲郎

まえがき 河床波の発達過程をモデル化することは、河床波の形成機構を明らかにする上でのみならず、流量が変化する条件での河床形状の応答については抵抗・流砂量の応答を知る上でも重要<sup>1)</sup>と考えられる。河床波の発達はその初期を除いては一つつのdunesなどのそれぞれが増幅・成長する(砂面不安定性解析はこの立場であり、また発達過程についてはFredsvenの研究<sup>2)</sup>がある)というよりもむしろ、いくつかの波相互の干渉(合体など)によるところが大きく、一つの沙波上の流速分布や流砂量分布の議論からは難しい面も多い。河床波のスケールの時間的変化の数学的表現を得たものとしてはYalin<sup>3)</sup>及び著者らの以前の研究<sup>4)</sup>があるが、前者は発達の内部構造に触れていないし、後者は河床波のスケールの分布性状の役割の重要性を考慮し時間の平方根に比例した変化過程の説明を行っているが平衡状態に達する過程までには至っていない。これは追いき合体のみに着目し分裂の効果を無視しているためである。以上のような研究の現状では、いくつかのモデルを摸索し、その長所・短所を検討しながら現象の内部構造についての理解を深めていくことは意義のあることと思われる。

河床波の発達過程に関する実験 長さ9m、幅33cmの水路<sup>2)</sup>粒径0.5mmのほぼ均一砂を用いて、初期平坦河床からdunesが発生・発達する過程を実験的に調べた。dunesの時間的発達過程における理条件を若干変えても(dunesのregime内)現象は相似と考えられ<sup>3),4)</sup>、発達の内部構造を探る上では一つの条件についての実験結果について詳しく検討して本質は損失しないものと思われる。

ここでは路床勾配1/500、単位幅流量 $q = 0.174 \text{ lit/sec.cm}$ の場合の実験を対象とし、1分毎に測定された河床形状記録より作成されたいわゆる走時曲線をもとに発達の過程を調べた。水路中央区間3m(A区間)を

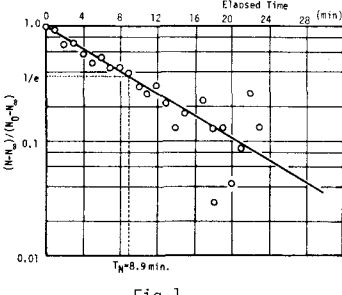


Fig. 1

対象としたこの区間に存在する波の個数の時間的変化を調べたのが

図-1でほぼ次式<sup>3)</sup>で近似される。 $N - N_0 = (N_0 - N_\infty) \exp(-t/T_N) \dots (1)$

ここで添字0,  $\infty$ は初期値及び平衡値を表すし、 $T_N$ は一種の発達時間スケールと言えよう。ここで調べている $N$ は図-2に示すように波長特性と良く対応しており(たとえば平均波長=区間長/ $N$ )、 $N$ の時間的変化における河床波の発達過程を代表し得よう。さて対象区間内の波の個数変化はこの区間での波の発生・消滅及びその区間への波の出入りによるものであり、それを水への依存度を調べたのが図-3である。この結果波の出入りはほぼ平衡

しており単位時間当たり区間Aでの波の発生・消滅個数をそれぞれ $R_B$ ,  $R_D$ とすると  $\frac{dN}{dt} = R_B - R_D \dots (2)$  で表される。すなち $R_B$ ,  $R_D$ がどのように $N$ に依存しているかを調べる(発生・消滅過程との取扱い)ことが有効であると判断される。図-4に単位時間当たり調べた $R_B$ ,  $R_D$ と $N$ の関係を示す。

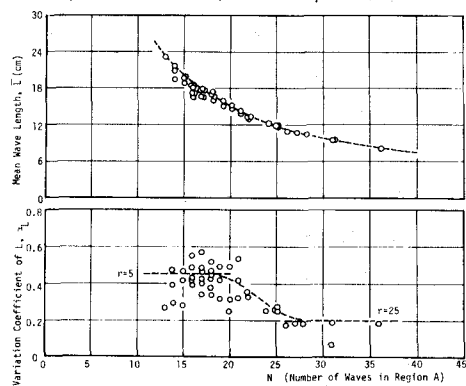


Fig. 2

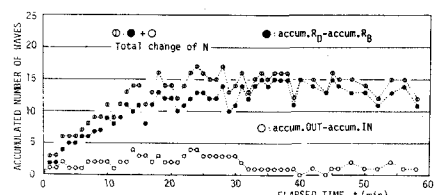


Fig. 3

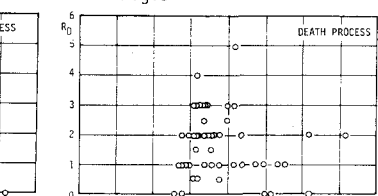


Fig. 4

発生・消滅過程のモデル まず“発生・消滅”といった事象がどのように条件で“生じ”いるかを調べるために、 $N$ が等しい時刻（1分毎の測定値がある）についての資料をまとめて波長分布をヒストグラム表示し1分以内にその波が消滅したものに $\blacksquare$ 、その後の上に新しい波を生じたものに $\blacksquare$ を付した。これから図-5に示すとおり、発生事象は長い波に、消滅事象は短かい波に頻繁に生じていることがわかる。

こうした知見をもとに以下、発生・消滅事象のモデル化を試みる。

(a) 発生： 一つの波が二つの波に分裂する可能性を、一つの波長が二つの波長で占められ得る確率を表わせると、新しく配列された二波も波長分布として同じ性質を保つものとすると、この確率は次のようになる。

$\hat{P}_B(\lambda) = \int_0^{\lambda/2} f(\lambda') d\lambda' \dots (3)$  ただし規準化された波長 $\lambda'$ の分布の密度

関数 $f(\lambda')$ をshape parameterが $r$ のgamma分布で表わされると、

$$f(\lambda') = \frac{r}{\Gamma(2r)} (2r\lambda')^{r-1} \exp(-2r\lambda') \dots (4)$$

さて単位時間当たりの発生個数を考慮するには「分裂に要する時間」(exchange time)が必要でいま実験値の整理との関連からとすると“これを1分にとることにする。このとき $\hat{P}_B(\lambda)$ は一分当たり波一個当たりの分裂確率密度となり、これを計算し実測値と比較した例が図-6である。

(b) 消滅： 消滅は個々の波のスケールの差にもとづく波速差による追いつき合体によるものである。波のスケールと波速の間にには(ほぼ)次の関係が認められる。 $L_W = \beta/L$ ,  $\beta = \frac{2.88}{\theta(1-\theta)}$  ……(5) ここで $L_W$ : 波速,  $L$ : 波長,  $\beta$ : 流動量,  $\theta$ : 波形勾配,  $\theta$ : 破壊確率である。さて、上流から規準化された波長 $\lambda'$ ,  $\lambda$ ,  $\lambda$ 'の波が配列しているとき(図-7参照)、 $\lambda$ の波について単位時間当たり波一個当たりの消滅確率密度 $\hat{P}_D(\lambda)$ は次式で与えられる。

$$\hat{P}_D(\lambda) = (\beta/L^2) \cdot \hat{f}_A(\lambda), \quad \hat{f}_A(\lambda) = \int_{\lambda'}^{\infty} f_L(\lambda') d\lambda' \\ \cdot \int_{\lambda}^{\infty} \frac{1}{T_B(\lambda', \lambda)} f_L(\lambda') d\lambda' + \int_{\lambda}^{\infty} \frac{1}{T_A(\lambda', \lambda)} f_L(\lambda') d\lambda' \int_{\lambda}^{\infty} f_L(\lambda') d\lambda' + \int_{\lambda}^{\infty} \int_{\lambda'}^{\infty} \frac{1}{T_A(\lambda', \lambda)} f_L(\lambda') f_L(\lambda'') d\lambda' d\lambda'' \\ + \int_{\lambda}^{\infty} f_L(\lambda') d\lambda' \int_{\lambda'}^{\infty} \frac{1}{T_A(\lambda', \lambda)} f_L(\lambda') d\lambda' \dots (6); \quad T_A(\lambda', \lambda) = \frac{1}{2} / \left( \frac{\lambda'}{\lambda} - \frac{1}{2} \right), \quad T_B(\lambda', \lambda) = 2 / \left( \frac{\lambda'}{\lambda} - \frac{1}{2} \right), \\ \lambda'(\lambda, \lambda') = \sqrt{\lambda^2 + (\lambda - \lambda')^2} \dots (7)$$

(図-8参照) ここでも1分を単位時間にとり、この時間内に波1個当たり1個以上消滅しない条件を課して、1分当たりの消滅個数を計算した例を図-9に示す。

考察 上記モデルによると $\hat{P}_B(\lambda)$ ,  $\hat{P}_D(\lambda)$ の推定(または実測値とも良く対応しており)、またこれらから $R_B = N \int_0^{\infty} \hat{P}_B(\lambda) f_L(\lambda) d\lambda$ ,  $R_D$ を推定できる。 $R_B$ ,  $R_D$ ～ $N$ の関係について計算値と実測値を比較したもののが図-10であり、 $(R_D - R_B)/N$ の関係は図-11に示した。図-11の実線が計算値で、実線は図-1のそれ(式(1))と同じ曲線であり、ここに示したモデルで河床波の発達が比較的よく説明されていることがわかる。今後とくにexchange timeに相当する時間の検討が必要である。

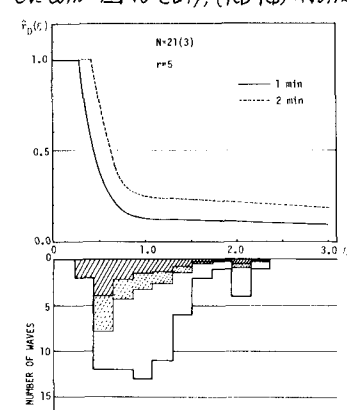


Fig. 9

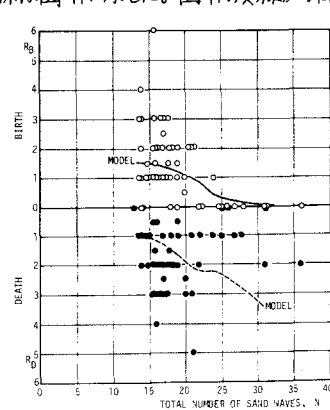


Fig. 10

参考文献: 1) 中川江本: 河川工学講義1981, 2) Fredsøe: JFM vol. 91, 1979, 3) Yalin & Bishop: Proc. 17th IAHR, 1977 4) 中川江本: 東大防災研年報198, 1976.

Fig. 5: Six histograms showing wave length distribution for different times: N=16 (9), N=17 (7), N=18 (6), N=19 (3), N=20 (3), and N=21 (3). Shaded areas indicate where waves have been born or died.

Fig. 5

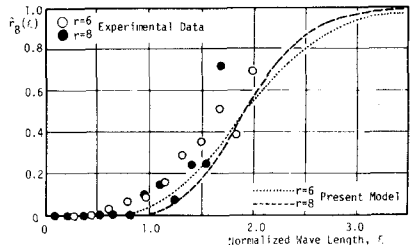


Fig. 6

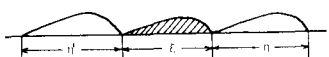


Fig. 7

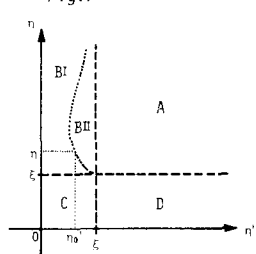


Fig. 8

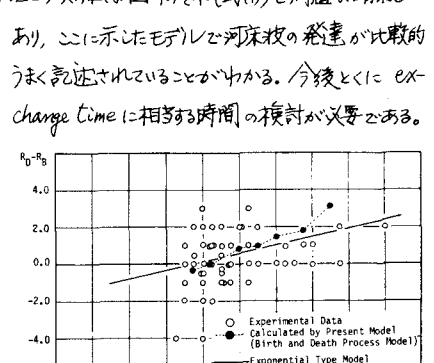


Fig. 11